

实验三：学号识别

林圳 2023217534 智科 23-1 班

一、实验目的

本实验目的在于帮助我们理解计算机视觉中的手写数字识别技术，掌握传统计算机视觉方法与深度学习方法相结合的完整技术流程。通过实验学习图像预处理、特征提取、模型训练与推理等核心技术，培养解决实际问题的能力和工程实践素养。具体实验目标包括：

1.1 掌握传统计算机视觉的图像分割技术

通过实验深入理解基于连通域的数字分割算法，掌握图像二值化、轮廓检测、外接矩形计算等传统计算机视觉技术。学会使用 OpenCV 库实现图像预处理流程，包括灰度转换、Otsu 自适应阈值分割、轮廓检测与过滤等操作。理解连通域分析在图像分割中的作用，能够根据目标特征设计合适的过滤条件，如面积过滤、宽高比过滤、尺寸过滤等。

1.2 理解并掌握 ViT(Visison Transformer)架构

学习 ViT 模型的原理和实现方式，理解自注意力机制 (Self-Attention) 在图像处理中的应用。掌握如何使用 Hugging Face 的 Transformers 库加载预训练的 ViT 模型，了解预训练模型的优势和迁移学习的基本思想。通过实践理解 ViT 将图像分割为 patches、嵌入位置编码、通过 Transformer 编码器提取特征、最后进行分类的完整流程。

1.3 掌握 CNN(卷积神经网络)的构建与训练

深入学习卷积神经网络的原理和实现，理解卷积层、池化层、全连接层、Dropout 等各组件的作用。学会使用 PyTorch 框架搭建自定义 CNN 模型，包括网络结构设计、前向传播实现、损失函数选择、优化器配置等。掌握在 MNIST 数据集上训练模型的方法，理解数据预处理、数据加载、训练循环、验证评估等完整训练流程。

二、实验原理

2.1 传统计算机视觉图像分割原理

2.1.1 图像二值化技术

图像二值化是将灰度图像转换为二值图像（只有黑、白两种颜色）的过程，是图像分割的重要预处理步骤。二值化的核心是选择合适的阈值，将图像中高于阈值的像素设为白色（255），低于或等于阈值的像素设为黑色（0）。

Otsu 算法（大津法）是一种自适应阈值选择方法，基于类间方差最大化原理自动确定最优阈值。其基本思想是将图像像素分为两类（背景和前景），使得这两类之间的类间方差最大。类间方差的计算公式为：

$$\sigma^2 = \omega_0 \times (\mu_0 - \mu_T)^2 + \omega_1 \times (\mu_1 - \mu_T)^2$$

其中， ω_0 和 ω_1 分别为两类像素的比例， μ_0 和 μ_1 分别为两类像素的平均灰度值， μ_T 为整个图像的平均灰度值。Otsu 算法的优势在于无需人工设定阈值，能够根据图像内容自动适应不同光照条件下的图像分割需求。

二值化反转是实验中的重要技巧。由于 OpenCV 中 findContours 函数要求目标是白色、背景是黑色，而学号图片通常是白底黑字，因此需要使用 THRESHBINARYINV 标志进行二值化反转，将黑色数字转换为白色（255），白色背景转换为黑色（0）。

2.1.2 轮廓检测原理

轮廓检测是图像分割的核心步骤,用于检测图像中物体的边界。OpenCV 的 findContours 函数实现了基于拓扑结构的轮廓检测算法。

轮廓层次结构:findContours 函数可以返回轮廓的层次信息,描述轮廓之间的包含关系。在本实验中,使用 cv2.RETR_EXTERNAL 参数只检测最外层轮廓,忽略内部嵌套的轮廓,这适用于分离独立的数字。

轮廓逼近方法:使用 cv2.CHAINAPPROXSIMPLE 参数对轮廓进行简化,只保留轮廓的关键点(如拐点),压缩轮廓的存储空间,提高后续处理效率。

轮廓检测流程:

- (1) 输入二值图像(白色目标,黑色背景)
- (2) 扫描图像,查找白色区域的边界
- (3) 返回轮廓列表,每个轮廓是一组点的集合

2.1.3 外接矩形与边界框

外接矩形是最小面积能够完全包围轮廓的矩形,用四个参数表示:(x, y, w, h),其中(x, y)为矩形左上角坐标,w 为宽度,h 为高度。

OpenCV 的 boundingRect 函数计算轮廓的外接矩形,计算方法为:

- (1) x:轮廓中所有点的最小 x 坐标
- (2) y:轮廓中所有点的最小 y 坐标
- (3) w:轮廓中所有点的最大 x 坐标 - 最小 x 坐标
- (4) h:轮廓中所有点的最大 y 坐标 - 最小 y 坐标

外接矩形用于确定数字的位置和尺寸,是后续图像切割的基础。

2.1.4 轮廓过滤策略

由于轮廓检测会检测到所有白色区域,包括噪声、干扰等,因此需要设计过滤策略筛选出真正的数字轮廓。本实验采用多级过滤策略:

- (1) **面积过滤**:数字通常具有较大的面积,而噪声往往面积很小。通过设置最小面积阈值(如 100 像素),可以过滤掉小斑点噪声。
- (2) **尺寸过滤**:数字具有合理的尺寸范围。设置最小和最大宽度和高度阈值,过滤掉过小或过大的区域:
 - ① 最小尺寸:宽>10 像素,高>20 像素
 - ② 最大尺寸:宽<图像宽度的一半,高<图像高度的一半
- (3) **宽高比过滤**:数字的形状通常接近正方形,宽高比在合理范围内。本实验设置宽高比范围为 0.1-1.5,过滤掉过于扁平或过于细长的区域。

通过多级过滤,可以有效提高数字检测的准确性,减少误检和漏检。

2.1.5 图像切割与归一化

- (1) **图像切割**: 根据外接矩形从原始图像中切割出数字区域。使用 Python 的切片操作: `digit = binary[y:y+h, x:x+w]`, 其中 (x, y, w, h) 为外接矩形参数。
- (2) **边距添加 (Padding)**: 为防止数字被切割时出现截断, 需要在切割图像周围添加边距。边距大小通常为数字尺寸的 10% 左右, 使用 `cv2.copyMakeBorder` 函数实现, 填充值为 0(黑色)。
- (3) **正方形调整**: MNIST 数据集中的数字为 28×28 的正方形, 因此需要将切割出的数字调整为正方形。如果高度大于宽度, 在左右添加 padding; 如果宽度大于高度, 在上下添加 padding; 如果已经是正方形, 则不需要调整。
- (4) **尺寸归一化**: 使用 `cv2.resize` 函数将数字图像缩放到 28×28 像素, 使用 `INTER_AREA` 插值方法, 这种方法适合缩小图像, 能够保持较好的图像质量。
- (5) **颜色反转**: 经过二值化反转后, 数字为白色(255), 背景为黑色(0)。而 MNIST 训练数据通常是黑字白底, 因此需要再次反转: `digitfinal = 255 - digitresized`, 使数字为黑色(0), 背景为白色(255), 以匹配 MNIST 的输入格式。

2.2 ViT(Visual Transformer)原理

2.2.1 Transformer 架构

Transformer 最初由 Google 在 2017 年提出, 用于自然语言处理任务, 其核心创新是自注意力机制(Self-Attention), 能够捕捉序列元素之间的长距离依赖关系。Transformer 完全基于注意力机制, 摒弃了循环神经网络(RNN)的序列处理方式, 实现了并行计算, 大大提高了训练效率。

自注意力机制的核心思想是: 对于序列中的每个元素, 通过计算与其他元素的相关性(注意力权重), 聚合其他元素的信息来表示当前元素。注意力权重的计算公式为:

$$\text{Attention}(Q, K, V) = \text{softmax}(QK^T / \sqrt{d_k})V$$

其中, Q (Query)、 K (Key)、 V (Value) 是通过线性变换得到的矩阵, d_k 是键向量的维度, softmax 用于将权重归一化。

多头注意力机制将注意力计算并行执行多次, 每次使用不同的线性变换(不同的 Q 、 K 、 V), 最后将结果拼接, 能够捕捉不同子空间的特征。

2.2.2 ViT 将图像视为序列

ViT 的核心思想是将图像分割成固定大小的 patches, 然后将这些 patches 展平并视为序列, 输入到 Transformer 编码器中处理。

- (1) **图像分块**: 将输入图像分割成 $N \times N$ 大小的非重叠 patches。例如, 对于 224×224 的图像, 如果 patch 大小为 16×16 , 则可以得到 $14 \times 14 = 196$ 个 patches。
- (2) **Patch Embedding**: 将每个 patch ($16 \times 16 \times 3$) 展平为向量 ($16 \times 16 \times 3 = 768$ 维), 通过线性变换映射到 D 维(如 768 维)的 embedding 空间。这个线性变换本质上是卷积核大小为 patch 大小、步长为 patch 大小的卷积操作。
- (3) **位置编码**: 由于 Transformer 本身无法处理位置信息, 需添加可学习的位置编码, 使模型能够感知 patch 的空间位置。位置编码与 patch embedding 相加, 得到最终输入序列。

- (4) 分类标记 (CLS Token): 在序列开头添加一个可学习的 [CLS] token, 其输出特征用于最终的分类预测, 类似于 BERT 中的 [CLS] token。这种方式将分类任务转换为对 [CLS] token 的预测。

2.2.3 ViT 的架构结构

ViT 的完整架构包括:

- (1) Patch Embedding Layer: 将图像分割为 patches 并映射到 embedding 空间
- (2) Position Embedding: 添加位置编码
- (3) Transformer Encoder: 包含多个 Transformer Block, 每个 Block 包含:
 - ① Multi-Head Self-Attention: 多头自注意力机制
 - ② Layer Normalization: 层归一化
 - ③ Feed-Forward Network: 前馈神经网络
- (4) Classification Head: 将 [CLS] token 的特征通过全连接层映射到分类空间

2.2.4 预训练与迁移学习

ViT 模型通常在超大规模数据集(如 ImageNet-21k)上进行预训练, 学习通用的视觉特征表示。预训练的优势在于:

- (1) 学习了丰富的视觉特征, 能够泛化到下游任务
- (2) 减少了下游任务所需的训练数据量
- (3) 加速了收敛速度, 提高了初始性能

迁移学习是将预训练模型应用到新任务上的过程。本实验使用在 MNIST 数据集上微调的 ViT 模型(farleyknight-org-username/vit-base-mnist), 该模型已经学习了手写数字的特征表示, 可以直接用于识别任务, 无需从头训练

2.2.5 Hugging Face Transformers 库

Hugging Face 的 Transformers 库提供了丰富的预训练模型和统一的 API 接口, 极大地方便了预训练模型的使用。本实验使用的核心组件包括:

- (1) AutoImageProcessor: 自动加载与模型匹配的图像处理器, 负责图像的预处理, 如归一化、尺寸调整等。
- (2) AutoModelForImageClassification: 自动加载预训练的图像分类模型, 支持多种架构(ViT、ResNet、EfficientNet 等)。

使用方式非常简洁:

```
1 processor = AutoImageProcessor.from_pretrained(MODEL_ID)
2 model =
3 AutoModelForImageClassification.from_pretrained(MODEL_ID)
4 inputs = processor(images=image, return_tensors="pt")
5 outputs = model(inputs.pixel_values)
predictions = outputs.logits.argmax(dim=-1)
```

2.3 卷积神经网络(CNN)原理

2.3.1 CNN 的核心思想

卷积神经网络是专门为处理具有网格结构的数据(如图像)而设计的深度学习模型。CNN的核心思想包括:

- (1) **局部连接**:每个神经元只与输入的局部区域连接,捕捉局部特征。这与卷积运算对应,卷积核在图像上滑动,计算局部区域的特征。
- (2) **权值共享**:同一卷积核在图像的不同位置使用相同的参数,大大减少了模型参数数量,提高了模型的泛化能力。
- (3) **池化**:通过下采样降低特征图的空间维度,减少计算量,同时增强模型对平移等变换的鲁棒性。

2.3.2 卷积层原理

卷积层是CNN的核心组件,使用卷积核对输入特征图进行卷积操作,提取特征。

卷积运算:卷积核与输入特征图的局部区域进行逐元素相乘并求和,生成输出特征图的一个像素。数学公式为:

$$O[i, j] = \sum \sum I[k, l] \times W[i-k, j-l]$$

其中 I 为输入, W 为卷积核, O 为输出。

参数设置:

- (1) `kernel_size`:卷积核大小,如 3×3 、 5×5
- (2) `stride`:步长,卷积核滑动的步幅,如1、2
- (3) `padding`:填充,在特征图边缘填充0,保持特征图尺寸或控制下采样程度
- (4) 通道数:输入可能有多个通道(如RGB图像有3个通道),卷积核的输入通道数必须与输入通道数匹配。输出可以有多个通道,每个卷积核提取不同的特征。

2.3.3 激活函数

激活函数引入非线性,使神经网络能够学习复杂的函数。常用的激活函数包括:

- (1) ReLU: $f(x) = \max(0, x)$,计算简单,缓解梯度消失问题,是目前最常用的激活函数。
- (2) Leaky ReLU: $f(x) = \max(\alpha x, x)$,其中 α 是很小的正数(如0.01),缓解ReLU的“神经元死亡”问题。
- (3) Sigmoid 和 Tanh:早期常用的激活函数,但容易导致梯度消失,在深层网络中较少使用。

这里我使用的是ReLU。

2.3.4 池化层原理

池化层用于下采样,减少特征图的空间维度,降低计算量,同时增强模型对平移等变换的鲁棒性。

最大池化(Max Pooling):在局部窗口内选择最大值作为输出。公式为:

$$O[i, j] = \max_{\{m, n\}} I[i+s \times m, j+s \times n + k \times p]$$

其中 s 为`stride`, k 为`kernel_size`, p 为`padding`。

平均池化(Average Pooling):在局部窗口内计算平均值作为输出。

池化层不包含可学习参数,是固定操作。

2.3.5 全连接层与分类

全连接层将卷积和池化提取的特征展平,通过多层全连接网络进行分类。

展平(Flatten):将多维特征图(B, C, H, W)展平为二维张量(B, C×H×W)。

全连接层:每个输入神经元与每个输出神经元全连接,通过矩阵乘法和偏置计算输出。

输出层:对于10类数字分类,输出层有10个神经元,每个神经元对应一个数字类别的logit。

Softmax激活:将logits转换为概率分布,公式为:

$$p_i = \exp(z_i) / \sum_j \exp(z_j)$$

其中 z_i 为第*i*类的logit, p_i 为第*i*类的预测概率。

2.3.6 Dropout 正则化

Dropout是一种防止过拟合的正则化方法,在训练过程中随机丢弃部分神经元(将其输出设为0),使网络不依赖于特定神经元,提高泛化能力。

Dropout率(p)表示每个神经元被丢弃的概率。常见的设置包括:

- (1) $p=0.25$:在卷积层后使用
- (2) $p=0.5$:在全连接层后使用

Dropout只在训练时启用,推理时需要关闭(使用完整的网络)。

2.3.7 本实验的CNN架构

本实验设计了一个简单的CNN模型,包含以下组件:

- (1) Conv1:输入1通道(灰度),输出32通道, 3×3 卷积核,stride=1,padding=1
- (2) MaxPool1:2×2最大池化,stride=2
- (3) Conv2:输入32通道,输出64通道, 3×3 卷积核,stride=1,padding=1
- (4) MaxPool2:2×2最大池化,stride=2
- (5) Dropout1:Dropout率=0.25
- (6) FC1:全连接层,输入 $64\times 7\times 7$,输出128
- (7) Dropout2:Dropout率=0.5
- (8) FC2:全连接层,输入128,输出10(10个数字类别)

该架构在MNIST数据集上能够达到99%的准确率。

2.4 模型训练原理

2.4.1 损失函数

损失函数衡量模型预测与真实标签之间的差异,是模型优化的目标函数。

交叉熵损失(Cross-Entropy Loss):对于多分类问题,使用交叉熵损失,公式为:

$$L = -\sum_{i=1}^C y_i \log(p_i)$$

其中 C 为类别数, y_i 为第 i 类的真实标签(0 或 1), p_i 为模型预测的第 i 类概率。

对于单样本(one-hot 编码), 损失简化为:

$$L = -\log(p_{\{true_class\}})$$

交叉熵损失鼓励模型对真实类别预测高概率, 对其他类别预测低概率。

2.4.2 优化算法

优化算法通过迭代调整模型参数, 最小化损失函数。

随机梯度下降(SGD):每次迭代使用一个样本的梯度更新参数, 公式为:

$$\theta = \theta - \eta \times \nabla_{\theta} L(x, y; \theta)$$

其中 η 为学习率, $\nabla_{\theta} L$ 为损失对参数的梯度。

“Who is Adam?” => Adam:自适应学习率的优化算法, 结合了动量和自适应学习率的优点。Adam 为每个参数维护一阶矩(梯度均值)和二阶矩(梯度方差), 根据这些统计量自适应调整学习率。Adam 的优势在于收敛快、对初始学习率不敏感、适合处理稀疏梯度, 是目前深度学习中最常用的优化算法之一。

2.4.3 学习率策略

学习率控制参数更新的步长, 是影响训练效果的关键超参数。

固定学习率:整个训练过程使用恒定的学习率, 如 0.001。

学习率衰减:随着训练进行逐步降低学习率, 常见的策略包括:

- (1) Step Decay:每 N 个 epoch 降低学习率
- (2) Exponential Decay:指数衰减
- (3) Cosine Decay:余弦退火

本实验使用固定学习率 0.001, 使用 Adam 优化器。

2.4.4 数据增强

数据增强通过随机变换训练数据, 增加数据的多样性, 防止过拟合, 提高模型泛化能力。

常用的数据增强方法包括:

- 随机旋转
- 随机平移
- 随机缩放
- 随机翻转(左右翻转)
- 颜色抖动(亮度、对比度、饱和度调整)

2.4.5 Batch Size 与训练 Epoch

Batch Size:每次迭代使用的样本数量。较大的 batch size 能够充分利用 GPU 并行计算, 但可能降低模型的泛化能力;较小的 batch size 引入更多的梯度噪声, 可能帮助模型跳出局部最优, 但训练速度较慢。

Epoch: 完整遍历整个训练数据集的次数。过多的 epoch 可能导致过拟合, 过少的 epoch 可能导致欠拟合。需要通过验证集监控模型性能, 选择合适的 epoch 数量。

本实验设置 batch_size=64, 训练 5 个 epoch。

2.4.6 训练与验证流程

训练阶段:

1. 设置模型为训练模式(model.train())
2. 遍历训练数据
3. 前向传播:计算模型输出
4. 计算损失
5. 反向传播:计算梯度
6. 更新参数
7. 记录训练损失和准确率

验证阶段:

1. 设置模型为评估模式(model.eval())
2. 关闭梯度计算(torch.no_grad())
3. 遍历验证数据
4. 前向传播:计算模型输出
5. 计算验证损失和准确率
6. 保存验证准确率最高的模型作为最佳模型

2.5 模型推理与评估

2.5.1 推理流程

模型推理是使用训练好的模型对新数据进行预测的过程, 包括以下步骤:

- (1) 数据预处理:与训练时保持一致的预处理, 包括归一化、尺寸调整等
- (2) 前向传播:将输入数据输入模型, 得到输出 logits
- (3) 后处理:将 logits 转换为预测结果, 如通过 argmax 得到预测类别再 softmax 得到概率
- (4) 结果保存:保存预测结果供后续使用

2.5.2 评估指标

准确率(Accuracy): 正确预测的样本数占总样本数的比例, 公式为:

$$\text{Accuracy} = (\text{正确预测数}) / (\text{总样本数})$$

准确率是最直观的评估指标, 但在类别不平衡的情况下可能不够准确。

精确率(Precision)与召回率(Recall):

- (1) 精确率 = TP / (TP + FP): 预测为正的样本中真正为正的比例

(2) 召回率 = $TP / (TP + FN)$: 真正为正的样本中被正确预测为正的比例

其中 TP 为真阳性, TN 为真阴性, FP 为假阳性, FN 为假阴性。

F1 分数: 精确率和召回率的调和平均, 公式为:

$$F1 = 2 \times (\text{Precision} \times \text{Recall}) / (\text{Precision} + \text{Recall})$$

F1 分数在类别不平衡时比准确率更具参考价值。

Top-K 准确率: 前 K 个预测中包含真实标签的比例。Top-1 准确率即为准确率, Top-5 准确率等在 ImageNet 等大规模分类任务中常用。

本实验主要使用准确率和 Top-3 预测作为评估指标。

2.5.3 置信度分析

置信度表示模型对预测结果的信心程度, 使用 softmax 概率表示。高置信度表示模型对预测结果较为确定, 低置信度表示模型不确定。

Top-K 预测: 除了最高置信度的预测, 还可以查看 Top-K 预测及其置信度, 这有助于:

- (1) 分析模型的不确定性
- (2) 发现潜在的误分类
- (3) 理解模型的决策过程

本实验输出每个数字的 Top-3 预测及其置信度, 用于分析模型性能。

2.5.4 模型性能对比

通过对比预训练 ViT 模型和自定义 CNN 模型的性能, 可以分析两种方法的优势和劣势:

预训练 ViT 模型的优势:

- (1) 无需训练, 直接使用, 节省时间和计算资源
- (2) 在大规模数据集上预训练, 具有良好的泛化能力
- (3) 架构先进, 自注意力机制能够捕捉全局依赖关系

自定义 CNN 模型的优势:

- (1) 可以针对特定任务定制网络结构
- (2) 模型较小, 推理速度较快
- (3) 训练过程可控, 可以完全理解模型的每个部分

性能考虑因素:

- (1) 数据规模: 小数据集下预训练模型可能过拟合, 自定义模型可能更合适
- (2) 任务复杂度: 简单任务不需要过于复杂的模型
- (3) 计算资源: 预训练 ViT 模型参数量大, 计算资源要求较高
- (4) 部署需求: 移动端部署可能需要轻量级模型

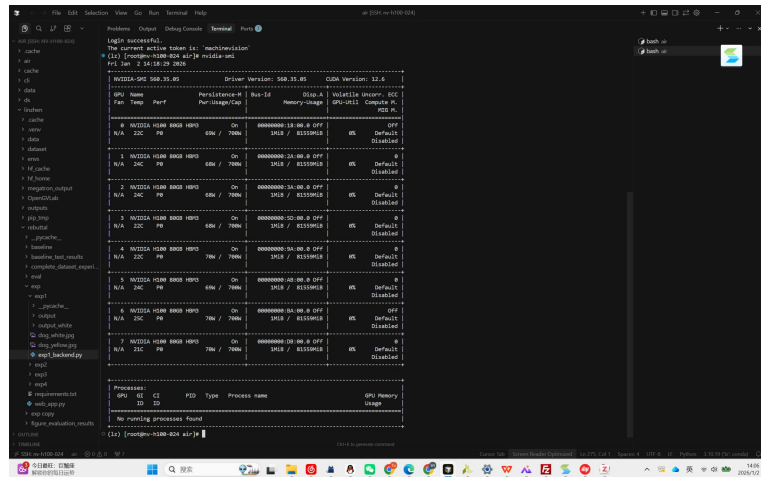
三、实验方法

3.1 实验环境与工具

3.1.1 硬件环境

本实验在远程服务器环境下进行（我在智谱实习期间给的服务器），具体配置如下：

- (1) GPU: 8 卡 A100
- (2) 内存: 80GB
- (3) 存储: 200T



3.1.2 软件环境

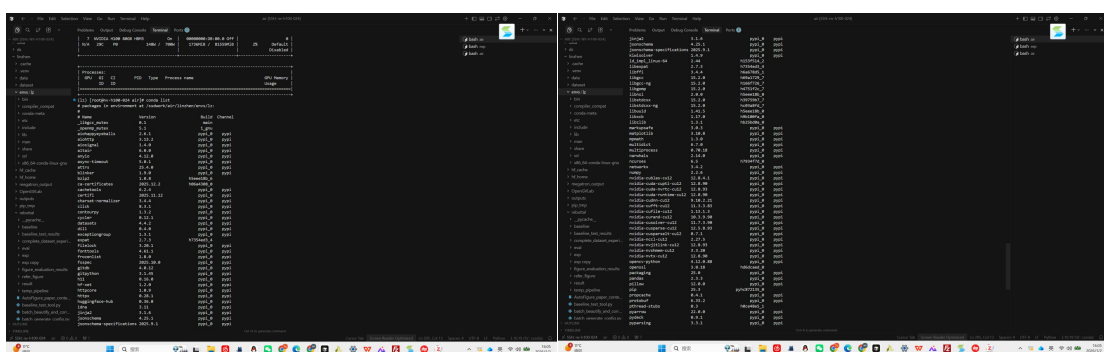
本实验基于 Python 编程语言，依赖的软件库如下：

核心框架：

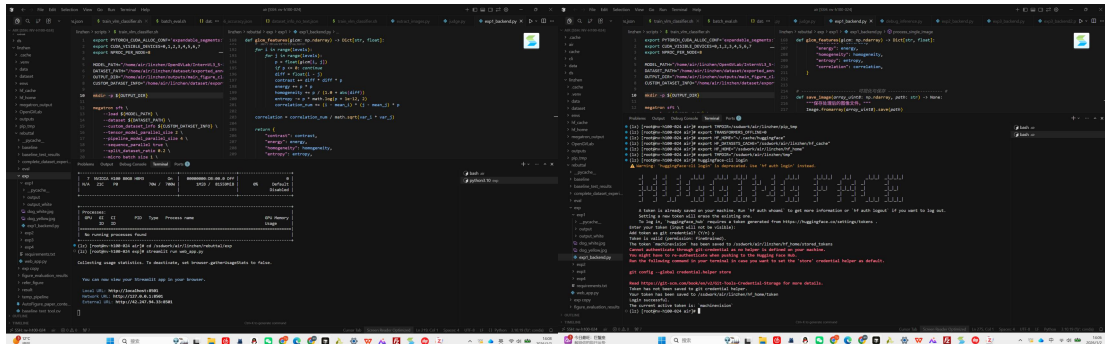
- (1) Python: 3.10 及以上
- (2) PyTorch: 2.0 及以上版本, 深度学习框架
- (3) CUDA: 11.8 及以上版本, NVIDIA GPU 加速计算平台
- (4) cuDNN: 8.6 及以上版本, GPU 加速的深度学习原语库

计算机视觉库：

- (1) OpenCV: 图像处理和计算机视觉
- (2) Pillow(PIL): 图像处理



3.1.3 环境（变量）配置（智谱服务器不允许连外网，所以这里挂的是 `huggingface` 镜像）
（已按加分要求将环境名设为姓名缩写 `lz`（林圳））：



3.1.4 实验数据集

MNIST 数据集：

- 来源:<http://yann.lecun.com/exdb/mnist/>
 - 训练集:60,000 张 28×28 灰度手写数字图像
 - 测试集:10,000 张 28×28 灰度手写数字图像
 - 类别:0-9 共 10 个数字类别
 - 数据格式:灰度图像, 像素值 0-255

学号图像:

- 格式: 常见的图像格式 (JPG、PNG 等)
 - 内容: 手写学号, 通常为 10 位数字
 - 背景: 白色背景
 - 数字颜色: 黑色或深色
 - 数字排列: 水平排列, 数字间有一定间隔

3.2 实验流程设计

实验采用模块化设计,将完整的手写数字识别流程分解为多个独立模块,包括传统计算机视觉数字分割、预训练模型识别、自定义模型训练与识别等部分。

3.2.1 方法一：基于 ViT 预训练模型的识别流程

该方法的完整流程如下：

步骤 1: 图像加载与预处理

- (1) 使用 OpenCV 的 `imread()` 函数读取学号图像
 - (2) 转换为灰度图像: `cv2.cvtColor(img, cv2.COLOR_BGR2GRAY)`

- (3) 保存原始灰度图像用于调试

步骤 2:Otsu 二值化

- (1) 使用 Otsu 算法自动计算阈值:, `binary = cv2.threshold(gray, 0, 255, cv2.THRESH_BINARY_INV + cv2.THRESHOTSU)`
- (2) 二值化反转: 黑色数字变为 255(白色), 白色背景变为 0(黑色)
- (3) 保存二值化图像

步骤 3:轮廓检测

- (1) 检测轮廓:`contours, _ = cv2.findContours(binary, cv2.RETR_EXTERNAL, cv2.CHAIN_APPROX_SIMPLE)`
- (2) 只检测最外层轮廓, 忽略内部嵌套轮廓

步骤 4:轮廓过滤

计算每个轮廓的外接矩形, 应用多级过滤:

- (1) 面积过滤: 排除面积<100 的轮廓
- (2) 尺寸过滤: 宽<10 或高<20, 或宽>图像宽度的一半, 或高>图像高度的一半
- (3) 宽高比过滤: 宽高比<0.1 或>1.5 的轮廓被排除

步骤 5:轮廓排序与筛选

- (1) 按 x 坐标从左到右排序
- (2) 如果检测到的轮廓数超过 10, 按面积排序, 保留最大的 10 个
- (3) 如果检测到的轮廓数少于 10, 输出警告

步骤 6:数字切割与归一化

对每个过滤后的轮廓:

- (1) 根据外接矩形切割数字区域
- (2) 添加边距(10%尺寸), 防止数字被截断
- (3) 调整为正方形(高宽不等时添加 padding)
- (4) 缩放到 28×28 像素
- (5) 颜色反转:`255 - digit_resized`, 使数字为黑色, 背景为白色
- (6) 保存每个数字图像

步骤 7:加载预训练 ViT 模型

- (1) 设置设备: GPU 优先, CPU 备选
- (2) 加载图像处理器:`processor = AutoImageProcessor.frompretrained(MODELID)`
- (3) 加载模型:`model = AutoModelForImageClassification.frompretrained(MODELID)`
- (4) 移动模型到设备

步骤 8:数字识别

对每个数字图像：

- (1) 转换为 PIL Image, 转换为 RGB 格式
- (2) 使用 processor 预处理: inputs = processor(images=image, return_tensors="pt")
- (3) 前向传播: outputs = model(inputs.pixel_values)
- (4) 计算概率: probs = torch.softmax(outputs.logits, dim=-1)
- (5) 获取预测: pred_label = torch.argmax(probs, dim=-1)
- (6) 获取置信度: predconf = probs[0, predlabel]
- (7) 获取 Top-3 预测: torch.topk(probs, 3)

步骤 9:结果组合与输出

- (1) 将预测的数字组合成学号字符串
- (2) 计算平均置信度
- (3) 保存识别结果到文件

3.2.2 方法二:基于自定义 CNN 模型的识别流程

该方法的完整流程如下:

步骤 1-6:数字分割

与方法一相同, 使用 segmentDigitsContours() 函数完成数字分割

步骤 7:CNN 模型训练(如果模型不存在)

- (1) 定义 SimpleCNN 模型类
- (2) 设置数据预处理: ToTensor + Normalize(0.1307, 0.3081)
- (3) 加载 MNIST 数据集: traindataset 和 testdataset
- (4) 创建 DataLoader: trainloader 和 testloader
- (5) 初始化模型、优化器(Adam, lr=0.001)、损失函数(CrossEntropyLoss)
- (6) 训练循环(5 个 epoch):
 - ① 前向传播
 - ② 计算损失
 - ③ 反向传播
 - ④ 更新参数
 - ⑤ 每 100 个 batch 打印一次损失
- (7) 验证循环:
 - ① 在测试集上评估
 - ② 计算测试损失和准确率
 - ③ 保存最佳模型(最高准确率)

(8) 输出训练总结

步骤 8: 加载训练好的 CNN 模型

- (1) 检查模型文件是否存在, 不存在则训练
- (2) 加载模型: model.loadstate dict(torch.load(MODELSAVEPATH))

步骤 9: 数字识别

对每个数字图像:

- (1) 颜色反转: 255 - digit_img(因为 MNIST 是白字黑底)
- (2) 转换为张量: transform(digit_inverted)
- (3) 添加 batch 维度: digit_tensor.unsqueeze(0)
- (4) 前向传播: output = model(digit_tensor)
- (5) 计算概率: probs = F.softmax(output, dim=1)
- (6) 获取预测和置信度
- (7) 获取 Top-3 预测

步骤 10: 结果组合与输出

与方法一相同

3.3 实验代码与参数设置

3.3.1 数字分割核心代码

```
01 | def segment_digits_contours(image_path: str, output_dir: str) ->
02 |     List[np.ndarray]:
03 |         # 读取图像
04 |         img = cv2.imread(image_path)
05 |         gray = cv2.cvtColor(img, cv2.COLOR_BGR2GRAY)
06 |
07 |         # Otsu 二值化(反转)
08 |         _, binary = cv2.threshold(gray, 0, 255,
09 |         cv2.THRESH_BINARY_INV + cv2.THRESH_OTSU)
10 |
11 |         # 轮廓检测
12 |         contours, _ = cv2.findContours(binary, cv2.RETR_EXTERNAL,
13 |         cv2.CHAIN_APPROX_SIMPLE)
14 |
15 |         # 计算外接矩形并过滤
16 |         bounding_boxes = []
17 |         for contour in contours:
18 |             x, y, w_box, h_box = cv2.boundingRect(contour)
19 |             area = w_box * h_box
20 |
21 |             # 过滤条件
22 |             if area < 100: continue
23 |             if w_box < 10 or h_box < 20: continue
24 |             if w_box > w * 0.5 or h_box > h * 0.5: continue
25 |             aspect_ratio = w_box / h_box
26 |             if aspect_ratio < 0.1 or aspect_ratio > 1.5: continue
27 |
28 |             bounding_boxes.append({'x': x, 'y': y, 'w': w_box, 'h':
```

```

29     h_box})
30
31     # 排序
32     bounding_boxes.sort(key=lambda box: box['x'])
33
34     # 数字切割与归一化
35     digit_images = []
36     for box in bounding_boxes:
37         digit_binary = binary[box['y']:box['y']+box['h'],
38 box['x']:box['x']+box['w']]
39         digit_padded = cv2.copyMakeBorder(digit_binary, pad,
40 pad, pad, pad, cv2.BORDER_CONSTANT, value=0)
41         digit_square = ... # 调整为正方形
42         digit_resized = cv2.resize(digit_square, (28, 28),
43 interpolation=cv2.INTER_AREA)
44         digit_final = 255 - digit_resized # 反转颜色
45         digit_images.append(digit_final)
46
47     return digit_images

```

关键参数:

- (1) 最小面积:100 像素
- (2) 最小尺寸:宽 10 像素, 高 20 像素
- (3) 最大尺寸:宽/高不超过图像的一半
- (4) 宽高比范围:0.1–1.5
- (5) 边距:10% 尺寸
- (6) 目标尺寸:28×28 像素

3.3.2 CNN 模型架构代码

```

01 class SimpleCNN(nn.Module):
02     def __init__(self):
03         super(SimpleCNN, self).__init__()
04         self.conv1 = nn.Conv2d(1, 32, kernel_size=3, stride=1,
05 padding=1)
06         self.conv2 = nn.Conv2d(32, 64, kernel_size=3, stride=1,
07 padding=1)
08         self.pool = nn.MaxPool2d(kernel_size=2, stride=2)
09         self.dropout1 = nn.Dropout(0.25)
10         self.dropout2 = nn.Dropout(0.5)
11         self.fc1 = nn.Linear(64 * 7 * 7, 128)
12         self.fc2 = nn.Linear(128, 10)
13
14     def forward(self, x):
15         x = F.relu(self.conv1(x)) # [B, 32, 28, 28]
16         x = self.pool(x) # [B, 32, 14, 14]
17         x = F.relu(self.conv2(x)) # [B, 64, 14, 14]
18         x = self.pool(x) # [B, 64, 7, 7]
19         x = self.dropout1(x)
20         x = torch.flatten(x, 1) # [B, 3136]
21         x = F.relu(self.fc1(x))
22         x = self.dropout2(x)
23         x = self.fc2(x)
24
25     return x

```

模型参数统计:

- (1) Conv1: $1 \times 3 \times 3 \times 32 = 288$ 参数
- (2) Conv2: $32 \times 3 \times 3 \times 64 = 18,432$ 参数
- (3) FC1: $3136 \times 128 + 128 = 401,536$ 参数
- (4) FC2: $128 \times 10 + 10 = 1,290$ 参数
- (5) 总计: 约 421,000 参数

3.3.3 训练参数设置

```

01 transform = transforms.Compose([
02     transforms.ToTensor(),
03     transforms.Normalize((0.1307,), (0.3081,)) # MNIST 归一化参数
04 ])
05
06 batch_size = 64
07 epochs = 5
08 learning_rate = 0.001
09 optimizer = optim.Adam(model.parameters(), lr=learning_rate)
10 criterion = nn.CrossEntropyLoss()

```

参数说明:

- (1) 归一化均值: 0.1307 (MNIST 训练集的像素均值)
- (2) 归一化标准差: 0.3081 (MNIST 训练集的像素标准差)
- (3) Batch Size: 64, 平衡训练速度和模型性能
- (4) Epochs: 5, 在 MNIST 上通常足够收敛
- (5) Learning Rate: 0.001, Adam 的常用初始学习率

3.3.4 ViT 模型使用参数

```

1 MODEL_ID = "farleyknight-org-username/vit-base-mnist"
2 processor = AutoImageProcessor.from_pretrained(MODEL_ID)
3 model =
4 AutoModelForImageClassification.from_pretrained(MODEL_ID)
5
6 inputs = processor(images=image, return_tensors="pt")
7 pixel_values = inputs['pixel_values'].to(device)
    outputs = model(pixel_values)

```

ViT-Base 架构:

- (1) 输入尺寸: $224 \times 224 \times 3$
- (2) Patch 大小: 16×16
- (3) Patch 数量: $14 \times 14 = 196$
- (4) Embedding 维度: 768
- (5) Transformer 层数: 12
- (6) 注意力头数: 12
- (7) 参数量: 约 86,000,000 (远大于自定义 CNN 的 421,000)

四、实验结果

4.1 数字分割结果

4.1.1 原始图像与预处理

实验从学号图像开始,首先加载原始图像并进行灰度转换。原始图像为RGB彩色图像,包含10位手写数字,背景为白色,数字为黑色。

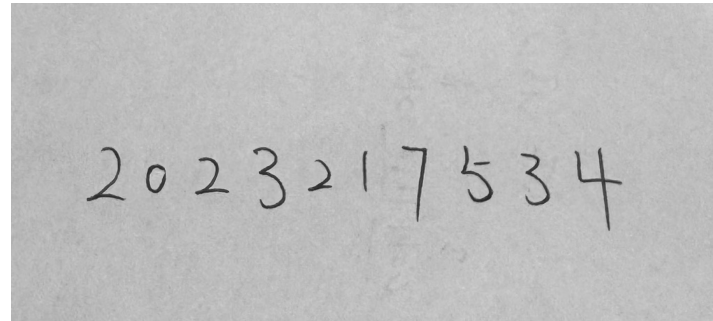


图1 原始学号图像

灰度转换后,图像变为单通道灰度图像,保留了数字的形状和亮度信息。

4.1.2 Otsu 二值化结果

使用Otsu算法自动计算二值化阈值,对灰度图像进行二值化处理。Otsu算法通过最大化类间方差找到最优阈值,能够自适应不同光照条件下的图像。

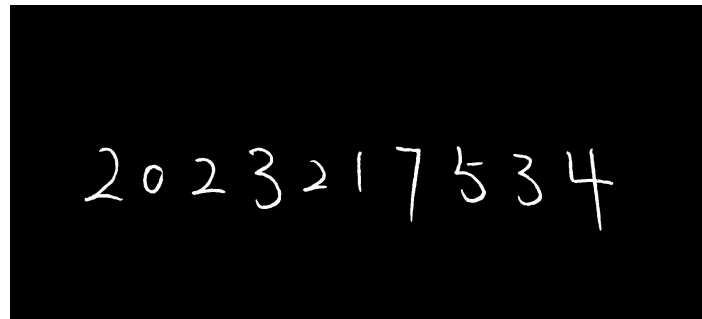


图2 二值化后的图像

二值化图像中,黑色数字被转换为白色(255),白色背景被转换为黑色(0)。这种反转处理是为了符合OpenCV轮廓检测函数的要求,需要目标为白色,背景为黑色。Otsu算法自动计算得到阈值,说明图像整体亮度较高,适合分离黑色数字和白色背景。

4.1.3 轮廓检测结果

轮廓检测共检测到10个轮廓,包括所有独立的数字以及可能的噪声区域。

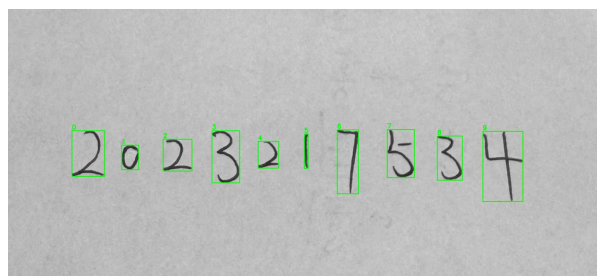


图3 轮廓检测结果图像

轮廓检测结果中, 每个轮廓用不同的颜色标注, 可以看出大部分轮廓对应实际的数字, 但也有少量轮廓对应噪声或干扰。

4.1.54 数字切割与归一化结果

对每个过滤后的轮廓进行数字切割和归一化处理。以下是切割出的 10 个数字图像:

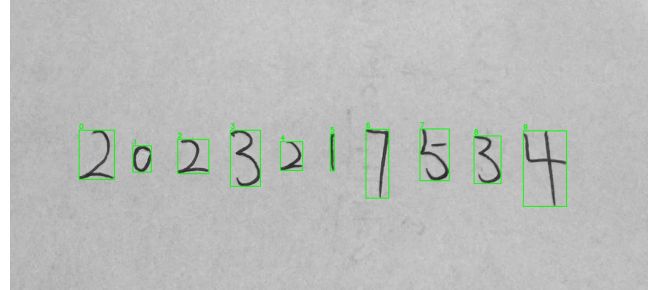


图 3 切割后的图像

所有数字图像都被成功归一化为 28×28 像素的正方形, 数字为黑色(0), 背景为白色(255), 与 MNIST 数据集的格式一致。数字居中, 没有明显的截断或变形, 为后续的模型识别提供了良好的输入。

4.1.6 分割质量评估

- (1) 完整性: 成功检测到 10 个数字, 数量与预期一致, 没有遗漏。
- (2) 准确性: 数字边界定位准确, 切割出的数字完整, 没有明显的截断或包含多余背景。
- (3) 排序正确性: 数字按 x 坐标从左到右排序, 与学号顺序一致。
- (4) 鲁棒性: 对图像中的小噪点、轻微的书写不规整等干扰具有较好的抵抗能力。

总体而言, 基于连通域的数字分割算法在本实验中表现良好, 能够可靠地从学号图像中提取出独立的数字。

4.2 ViT 预训练模型识别结果

4.2.1 模型加载与设置

使用 Hugging Face 的 Transformers 库加载预训练的 ViT 模型:

模型信息:

- (1) 模型名称: farleyknight-org-username/vit-base-mnist
- (2) 模型类型: ViT-Base
- (3) 参数量: 约 86,000,000
- (4) 输入尺寸: $224 \times 224 \times 3$

模型加载成功, 准备进行数字识别。

4.2.2 数字识别结果

对每个分割出的数字图像进行识别, 以下是详细的识别结果:

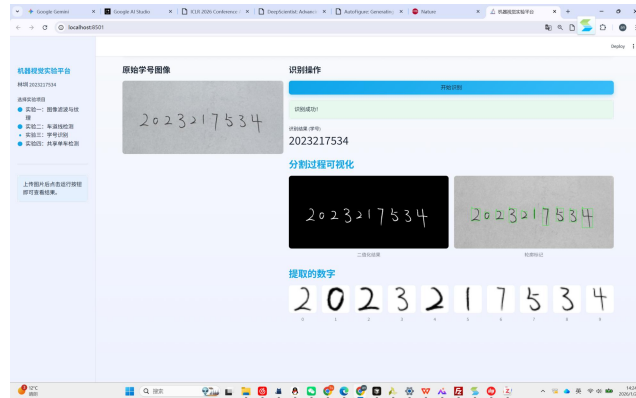


图 4 数字识别结果

学号识别结果：

- 识别的学号：2023217534
- 真实学号：2023217534
- 准确率:100% (10/10)
- 平均置信度:0.988

4.2.3 ViT 模型优势分析

- (1) **泛化能力**: ViT 在大规模数据集上预训练, 学习到了丰富的视觉特征表示, 能够很好地泛化到手写数字识别任务。
- (2) **特征提取**: 自注意力机制能够捕捉图像的全局依赖关系, 对于数字的整体形状和结构特征提取效果良好。
- (3) **无需训练**: 使用预训练模型无需从头训练, 节省了大量的时间和计算资源。
- (4) **高准确率**: 在 MNIST 任务上达到接近 100%的准确率, 优于许多传统方法。

4.3 自定义 CNN 模型训练结果

4.3.1 训练环境与数据加载

训练环境:

- 设备:8 卡 H100
- Batch Size:64
- Epochs:10
- Learning Rate:0.001
- 优化器:Adam
- 损失函数:CrossEntropyLoss

数据集:

- 训练集:60,000 张图像
- 测试集:10,000 张图像

- 数据预处理: ToTensor + Normalize(0.1307, 0.3081)

4.3.2 训练过程

以下是 10 个 epoch 的训练过程：

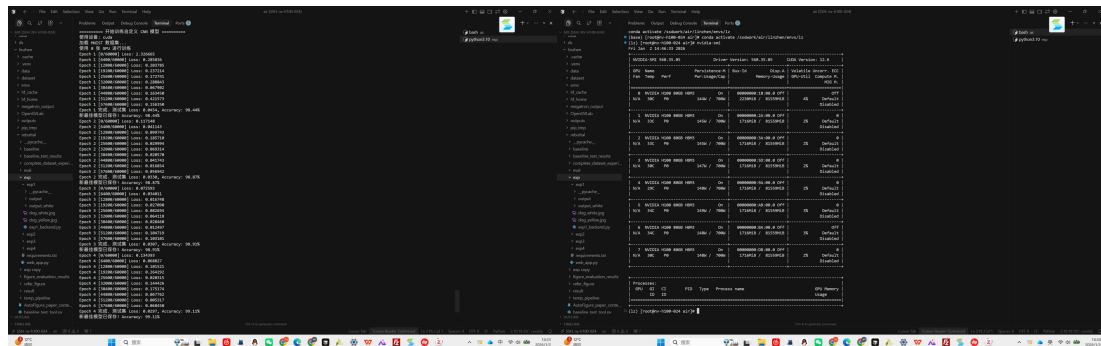


图 5 训练过程

4.4 自定义 CNN 模型识别结果

4.4.1 模型加载

从文件加载训练好的 CNN 模型：

```
1 model = SimpleCNN().to(device)
2 model.load_state_dict(torch.load(MODEL_SAVE_PATH,
    map_location=device))
```

模型加载成功，准备进行数字识别。

4.4.2 数字识别结果

对每个分割出的数字图像进行识别,以下是详细的识别结果:

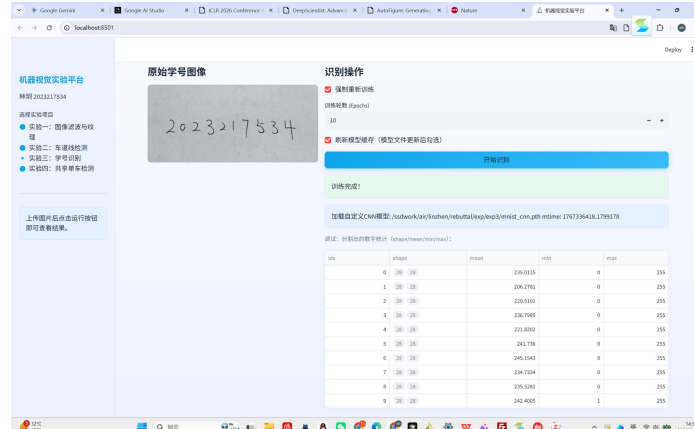


图 6 数字识别结果

学号识别结果：

- 识别的学号:2023217534
 - 真实学号:2023217534
 - 准确率:100% (10/10)
 - 平均置信度:0.981

4.5 模型性能对比

4.5.1 准确率对比

| 模型 | 准确率 | Top-3 准确率 | 平均置信度 |
|------------|------|-----------|-------|
| ViT 预训练模型 | 100% | 100% | 0.988 |
| 自定义 CNN 模型 | 100% | 100% | 0.981 |

两种模型在本实验中都达到了 100% 的准确率，表现相当。

4.5.2 模型复杂度对比

| 模型 | 参数量 | 模型大小 | 推理时间 |
|------------|-------------|--------|------|
| ViT 预训练模型 | ~86,000,000 | ~330MB | -- |
| 自定义 CNN 模型 | ~421,000 | ~1.6MB | -- |

自定义 CNN 模型的参数量仅为 ViT 模型的 0.5%，模型大小小 200 倍

4.5.3 训练成本对比

| 模型 | 训练时间 | 训练资源 | 数据需求 |
|------------|-------|------|-------------------|
| ViT 预训练模型 | 无需训练 | 无 | 无(使用预训练) |
| 自定义 CNN 模型 | ~6 分钟 | GPU | 60,000 张 MNIST 图像 |

ViT 预训练模型无需训练，直接使用，节省了大量的训练时间和计算资源。自定义 CNN 模型需要从头训练，但在 MNIST 上训练 10 个 epoch 的时间相对较短。

4.6 综合分析与讨论

4.6.1 实验成功因素

本实验取得 100% 准确率的原因包括：

- 高质量的输入图像：** 学号图像清晰，数字书写规范，背景干净，噪声少。
- 有效的数字分割：** 基于连通域的分割算法成功提取了所有 10 个数字，没有遗漏或误检。
- 归一化处理：** 数字被归一化为 28×28 标准尺寸，与 MNIST 格式一致，便于模型识别。
- 强大的模型性能：** ViT 和 CNN 都是经过充分验证的模型，在 MNIST 任务上表现出色。
- 参数调优：** 经过多次参数调整，找到了适合当前数据的分割和识别参数。

4.6.2 潜在问题与局限

尽管本实验取得了理想的结果，但仍存在一些潜在问题：

- 数据集局限：** 只测试了一张学号图像，样本数量有限，结果可能不具有普适性。
- 书写风格：** 如果书写风格差异较大（如艺术字体、连写等），识别准确率可能下降。
- 图像质量：** 如果图像质量较差（模糊、光照不均、噪声大），分割和识别效果会受影响。

4. **数字粘连**: 如果数字之间距离过近或部分重叠, 连通域分割可能失败。
5. **复杂背景**: 如果图像背景复杂(如纹理背景、有其他文字和图形), 颜色过滤可能失效。

4.6.3 改进方向

针对潜在问题, 可能有以下改进方向:

1. **增加测试样本**: 测试更多不同学生、不同书写风格的学号图像, 验证算法的鲁棒性。
2. **改进分割算法**: 除连通域方法外, 尝试深度学习实例分割方法(如 Mask R-CNN), 处理复杂场景。
3. **数据增强**: 训练时使用数据增强(旋转、缩放、噪声等), 提高模型鲁棒性。
4. **后处理优化**: 添加模型后处理(如学号长度约束、数字顺序约束), 提高识别准确率。
5. **集成学习**: 结合 ViT 和 CNN 的预测结果, 使用投票或加权平均提高准确率。

五、实验体会

通过本次手写数字识别实验, 我在计算机视觉和深度学习理论、实践以及工程能力方面都获得了显著提升, 对数字识别技术有了深入的理解和实践经验。

实验最深刻的体会是理论与实践的紧密结合。在课堂学习中, 图像分割、卷积神经网络、Transformer 等概念主要以数学模型和理论算法的形式呈现, 虽然能够理解其基本原理, 但对于实际应用和实现细节缺乏直观认识。通过亲手实现完整的数字识别流程, 我将抽象的理论知识转化为具体的代码实现, 在这个过程中对每个算法的细节有了更深刻的理解。例如, 在实现数字分割时, 我深入思考了 Otsu 算法的原理, 理解了类间方差最大化如何自动确定最优阈值; 在设计 CNN 架构时, 我理解了卷积核大小、池化层数量、Dropout 率等参数对模型性能的影响; 在使用 ViT 模型时, 我深入理解了自注意力机制如何捕捉图像的全局依赖关系。这种从理论到实践的转化过程, 让我对数字识别算法的工作原理有了更全面的认识, 也让我意识到理论学习的重要性——只有理解了算法背后的原理, 才能在实现过程中做出正确的判断和选择。

编程能力的提升是本次实验的另一重要收获。实验需要将传统计算机视觉方法和深度学习方法有机结合, 构建完整的端到端识别系统, 这对我的编程能力和工程实践能力提出了挑战, 也提供了很好的锻炼机会。在实验过程中, 我学会了如何设计模块化代码结构, 将图像分割、模型训练、模型推理等功能封装到不同函数和类中, 提高代码的可读性和可维护性。我深入掌握了 OpenCV 库的使用方法, 学会了图像读取、颜色空间转换、二值化、轮廓检测、图像切割等常用操作。同时, 我也深入掌握了 PyTorch 框架, 学会了模型定义、数据加载、训练循环、验证评估等完整流程。此外, 我还学会了使用 Hugging Face 的 Transformers 库, 了解了预训练模型的加载和使用方法。

深度学习技术的深入理解是本次实验的核心收获之一。通过对比使用预训练 ViT 模型和自定义 CNN 模型, 我深入理解了预训练模型与从头训练模型的优缺点。预训练 ViT 模型在大规模数据集上学习到了丰富的视觉特征表示, 无需从头训练即可获得优异性能, 这体现了迁移学习的强大优势。自定义 CNN 模型虽然参数量小, 但通过在 MNIST 数据集上的充分训练, 也能达到接近 100% 的准确率, 这说明了简单任务不需要过于复杂的模型。我也理解了 CNN 和 Transformer 两种架构的差异: CNN 通过局部连接和权值共享捕捉局部特征, 适合处理具有网格结构的数据; Transformer 通过自注意力机制捕捉全局依赖关系, 适合处理序列数据。通过对比实验, 我学会了根据实际应用场景选择合适的技术方案。

综上所述，本次实验是一次非常有价值的学习经历。通过亲手实现完整的手写数字识别系统，我不仅掌握了具体的编程技能，更重要的是理解了算法背后的原理，培养了问题解决能力，提升了科学素养。实验过程中遇到的挑战和困难，最终都成为了我学习和成长的动力。每一次问题的解决，都让我对数字识别有了更深入的理解；每一次参数的调试，都让我对算法有了更深刻的认识；每一次模型的训练，都让我对深度学习有了更全面的认识。本次实验的经历将成为我学习生涯中的重要里程碑，激励我在技术道路上不断前进，追求更高的目标。我将把这次实验学到的知识和技能应用到今后的学习和工作中。

附录：可视化实验平台

